

ВЛИЯНИЕ КОНЦЕНТРАЦИИ МАРГАНЦА НА СПЕКТР ФОТОЛЮМИНЕСЦЕНЦИИ GaSb

Георгицэ Е. И., Гуцудяк Л. М., Иванов-Омский В. И.,
Мастеров В. Ф., Смирнов В. А., Юлдашев Ш. У.

Приведены результаты исследования влияния марганца на спектр фотолюминесценции антимонида галлия. Исследовавшиеся образцы обладали *p*-типа проводимости, концентрация свободных дырок изменялась при 77 К в пределах $1.5 \cdot 10^{16} \div 3 \cdot 10^{18} \text{ см}^{-3}$. Наблюдаемое сужение запрещенной зоны GaSb с увеличением содержания марганца объясняется учетом преимущественного вклада обменного взаимодействия дырок и их взаимодействием с примесным потенциалом.

Показано, что с увеличением содержания марганца происходит уширение основной полосы краевой люминесценции, обусловленное размытием краев зон. Температурный ход полуширины полосы излучения использован для определения концентрации примесей и степени их компенсации.

Введение. Поведение марганца в соединениях Al_xB_y достаточно широко освещено в литературе [1-5], в то время как антимонид галлия изучен слабо.

В настоящей работе приведены результаты исследования влияния концентрации марганца на форму спектра фотолюминесценции антимонида галлия.

Экспериментальные результаты и их обсуждение

Исследовавшиеся образцы представляли собой объемные монокристаллы, выращенные методом зонной плавки, *p*-типа проводимости. Легирующая примесь — марганец — вводилась в шихту в концентрациях 0.005—1 ат%. Концентрация дырок при 77 К изменялась в пределах $1.5 \cdot 10^{16} \div 3 \cdot 10^{18} \text{ см}^{-3}$.

Фотолюминесценция исследовалась по стандартной методике. Неравновесные носители возбуждались твердотельным лазером Nd : YAG ($\lambda \sim 1.06 \text{ мкм}$), мощность которого при работе в непрерывном одномодовом режиме составляла $\sim 0.5 \text{ Вт}$, что соответствует слабому уровню возбуждения.

На рис. 1 представлены спектры фотолюминесценции антимонида галлия с различной концентрацией легирующей примеси. Как видно, спектры ФЛ состоят из двух полос излучения, условно обозначенных *A* и *B*. Максимумы этих полос для образца с 0.005 ат% марганца соответствуют энергиям 775 и 797 мэВ. В спектрах ФЛ при 77 К выделяются следующие особенности: с увеличением содержания марганца растет полуширина полосы *B*, она смещается при этом в длинноволновую область спектра, уменьшается интенсивность полосы *A*, исчезая при 1 % Mn, без смещения максимума. Обращает на себя внимание то, что энергетическое положение максимума полосы *B* для образца с 0.005 % Mn практически совпадает с шириной запрещенной зоны нелегированного антимонида галлия. Сравнение с литературными данными позволяет предположить, что полоса *A* обусловлена переходами зона проводимости — природный акцептор, а полоса *B*, скорее всего, связана с переходами зона проводимости — валентная зона, как следует из факта совпадения ее максимума в наименее легированном Mn образце с величиной запрещенной зоны в нелегированном антимониде галлия.

Смещение максимума полосы излучения *B*, приписываемого нами межзонной рекомбинации, в длинноволновую область спектра с увеличением содержа-

ния марганца может происходить из-за концентрационного сужения запрещенной зоны легированного полупроводника, которое обусловлено несколькими факторами: взаимодействием носителей с примесным потенциалом [6, 7], обменным взаимодействием свободных носителей [8], а также изменением постоянной решетки [9]. Вследствие достаточно малого количества введенного марганца $\sim 1\%$ последний фактор, очевидно, не будет давать большого вклада в наблюдавшееся изменение ширины запрещенной зоны. Следовательно, наблюдаемое в эксперименте изменение ширины запрещенной зоны естественно связать с обменным взаимодействием свободных носителей и их взаимодействием с при-

месиями. Этот вывод согласуется с данными работы [7].

На рис. 2 приведены результаты изменения ширины запрещенной зоны антимонида галлия с увеличением уровня легирования и теоретический расчет поправки к величине запрещенной зоны $|\Delta E_g|$ с учетом обменного взаимодействия дырок. Расчет выполнен в соответствии с данными работы [10], в которой дополнительно учитывается взаимодействие дырок с примесным потенциалом. На основании удовлетворительного согласия расчета с экспериментом

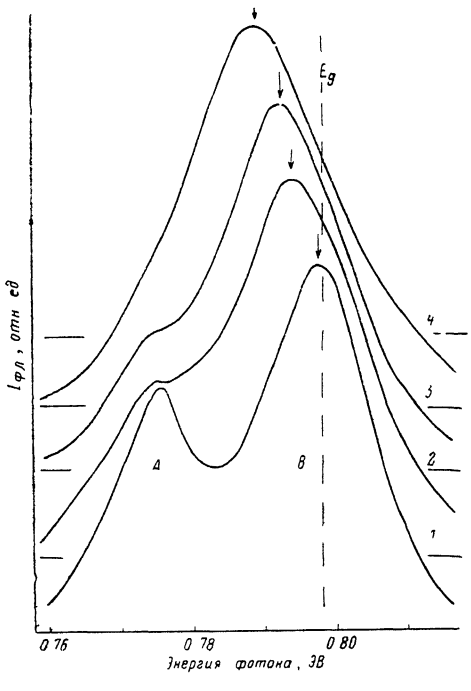


Рис. 1. Спектры фотолюминесценции GaSb : Mn при 77 K.
Содержание Mn, ат%: 1 — 0.005, 2 — 0.01, 3 — 0.1,
4 — 1.

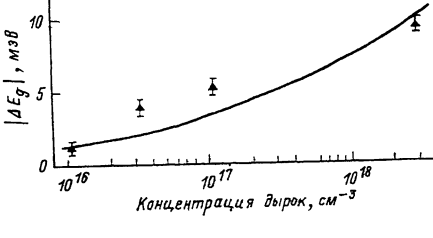


Рис. 2. Изменение ширины запрещенной зоны антимонида галлия от концентрации свободных дырок.

Точки — эксперимент для образцов с различным содержанием марганца, сплошная линия — расчет в соответствии с работой [10].

можно сделать вывод, что названные выше механизмы вносят преимущественный вклад в сужение запрещенной зоны.

На рис. 3 представлена зависимость полуширины полосы B от концентрации примеси. Видно, что с увеличением концентрации марганца полуширина этой полосы растет. Расчет изменения ширины полосы B с учетом размытия краев зоны, обусловленный флуктуациями плотности заряженной примеси, выполнялся в соответствии с работой [11]. Расчет, как видно, качественно правильно описывает наблюдаемое в эксперименте уширение данной полосы излучения.

На рис. 4, а представлено температурное смещение полосы B для двух образцов с различными концентрациями марганца. Видно, что в интервале температур $2 \div 50$ К происходит смещение максимума этой полосы в коротковолновую область спектра и при $T=40$ К достигает ~ 6 мэВ. Столь значительное температурное смещение не может найти объяснения в рамках модели Иглса [12], описывающей зависимость излучательного перехода зона проводимости—акцептор от температуры. Смещение в коротковолновую область спектра намного превосходит предсказываемую данной моделью величину смещения $\sim k_B T/2$. Объяснение наблюдаемых изменений можно найти в теории люминесценции сильно легированных полупроводников [13]. При температурах выше

90 К полоса B смещается в длинноволновую область спектра со скоростью, совпадающей с температурным ходом ширины запрещенной зоны.

Температурная зависимость полуширины полосы B для образца GaSb : 0.01 % Mn представлена на рис. 4, б. Видно, что присутствуют два участка с постоянными полуширинами: низкотемпературный ($2 \div 25$ К) со значением полуширины Δ_0 и высокотемпературный с полушириной Δ_∞ , в то время как в температурном интервале $30 \div 50$ К происходит достаточно резкое увеличение полуширины полосы B . Наблюдаемый характер изменения полуширины полосы B с температурой может быть связан с переходом от коррелированного

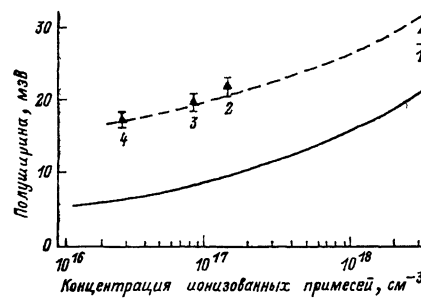


Рис. 3. Зависимость полуширины полосы излучения от концентрации примесей при 77 К.

Точки — эксперимент, сплошная линия — расчет по формулам работы [11]. Содержание Mn, ат.-%: 1 — 1, 2 — 0.1, 3 — 0.01, 4 — 0.005.

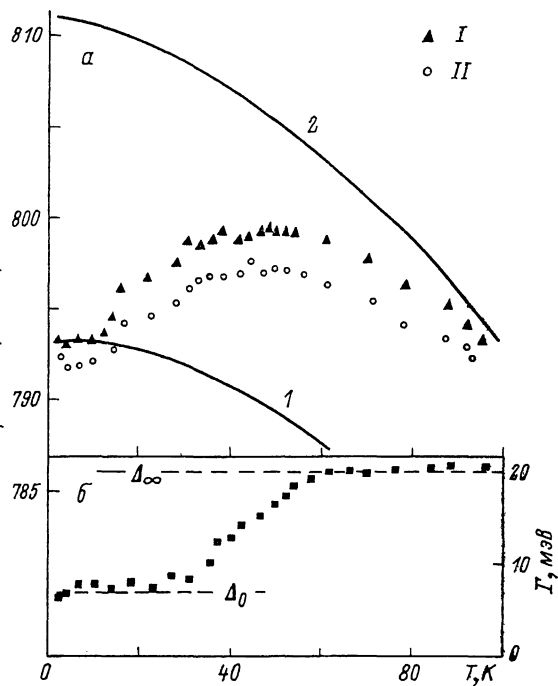


Рис. 4. Температурное смещение полосы излучения B (зона проводимости—акцептор) (а); зависимость полуширины полосы B от температуры для образца, содержащего 0.01 % Mn (б).

1 — GaSb : 0.005 % Mn, II — GaSb : 0.01 % Mn. 1 — расчет [12]; 2 — расчет температурного смещения запрещенной зоны [13]. Полуширина излучательной полосы при температурах: Δ_0 — низких, Δ_∞ — высоких.

распределения носителей заряда по примесям к хаотическому. Следуя разработанной в работе [14] процедуре описания такого перехода, можно определить концентрацию примесей и степень их компенсации. Оценка концентрации примесей в исследованных образцах GaSb : 0.01 % Mn и GaSb : 0.005 % Mn дает соответственно $9.5 \cdot 10^{16}$ и $3.5 \cdot 10^{16}$ см⁻³.

Степень компенсации равняется 0.3 и 0.2 соответственно. Сравнение сделанных оценок с результатами холловских измерений дает для величины $(N_A - N_D)$ соответственно значения $9.3 \cdot 10^{16}$ и $3.16 \cdot 10^{16}$ см⁻³ и указывает на рациональное их согласие между собой.

Список литературы

- [1] Мастеров В. Ф. // ФТП. 1984. Т. 18. В. 1. С. 3—23.
- [2] Мастеров В. Ф., Саморуков Б. Е. // ФТП. 1978. Т. 12. В. 4. С. 625—652.
- [3] Омельяновский Э. М., Фистуль В. И. Примеси переходных металлов в полупроводниках. М., 1983. 191 с.
- [4] Милнес А. Примеси с глубокими уровнями в полупроводниках. М., 1977. 437 с.
- [5] Фистуль В. И. Физика и материаловедение полупроводников с глубокими уровнями. М., 1987. 232 с.
- [6] Hass C. // Phys. Rev. 1962. V. 125. P. 1965—1971.
- [7] Auvergne D., Camassel J., Mathieu H. // Phys. Rev. B. 1975. V. 11. N 1. P. 2251—2259.
- [8] Wolf P. A. // Phys. Rev. 1962. V. 126. P. 405—410.
- [9] Фистуль В. И. Сильно легированные полупроводники. М., 1967. 323 с.
- [10] Hwang C. J. // Phys. Rev. B. 1970. V. 10. N 2. P. 4117—4125.

- [11] Шкловский Б. И., Эфрос А. Л. Электронные свойства легированных полупроводников. М., 1979. 416 с.
- [12] Eagles J. // J. Phys. Chem. Sol. 1960. V. 16. N 1. P. 76—80.
- [13] Леванюк А. П., Осипов В. В. // УФН. 1981. Т. 133. В. 3. С. 427—477.
- [14] Бараповский С. Д., Гельмонт Б. Л., Голубев В. Г., Иванов-Омский В. И., Осутин А. В. // Письма ЖЭТФ. 1987. Т. 46. В. 10. С. 405—407.
- [15] Chidley E. T., Haywood S. K., Henriques A. B., Mason N. J., Nicholas R. J., Walker P. J. // Semicond. Sci. Techn. 1991. V. 6. N 1. P. 45—54.

Физико-технический институт
им. А. Ф. Иоффе АН СССР
Санкт-Петербург

Получена 24.06.1991
Принята к печати 8.07.1991
